

#1

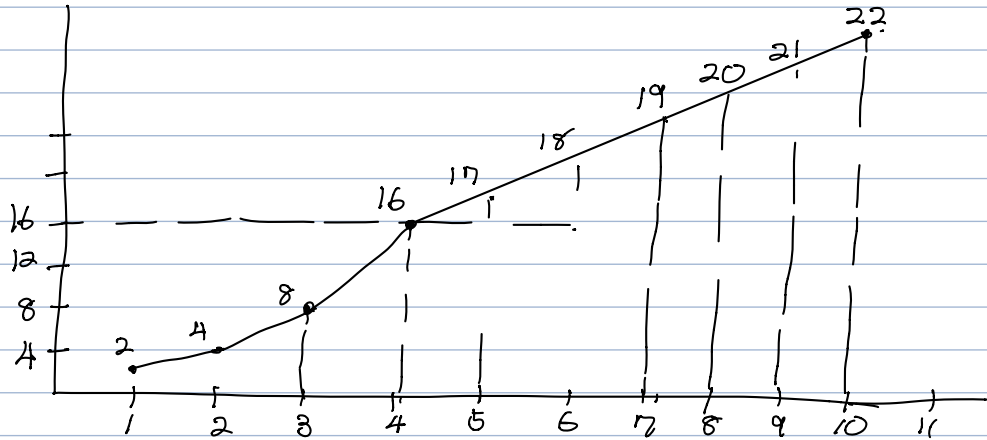
2016112158 김희수

1-(1)

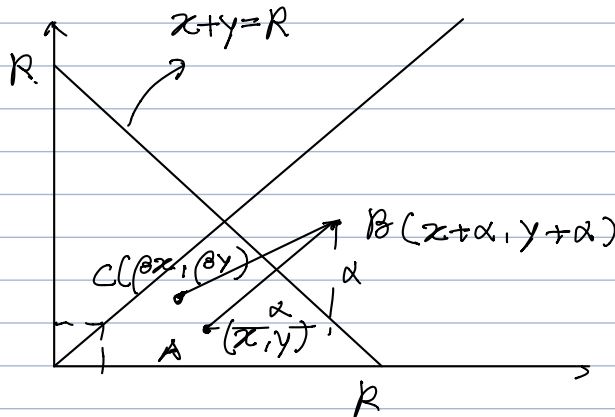
합계값 16 MSS

1~4 round: exponentially increase

5~10 round: linearly increase

22>1

1-(2)



$$x+y+2\alpha < R$$

$$x + A-B \text{ 기울기} : \frac{y+\alpha-y}{x+\alpha-x} = 1$$

$$\alpha x = \frac{x+\alpha-0}{2} \quad C \text{는 원점과 B의 중점}$$

$$\alpha y = \frac{y+\alpha-0}{2}$$

$$\therefore B-C \text{ 기울기} = \frac{y+\alpha - \frac{y+\alpha}{2}}{x+\alpha - \frac{x+\alpha}{2}} = \frac{\frac{y+\alpha}{2}}{\frac{x+\alpha}{2}} = \frac{y+\alpha}{x+\alpha}$$

#2

단점.

CIDR

32-2 비트들이 기관 내부에 같은
네트워크 프리픽스를 갖는 모든 경계를 구별
⇒ subnet

서브넷에도 주소를 부여하므로
고갈을 가속시킬 수 있음

NCP

서버로부터 주소를 동적으로 가져온다. 즉, 주소를
사용할 때만 빌리고 그렇지 않을 때 반환

DHCP 메시지가 차지하는
오버헤드 발생

NAT

local network의 인터페이스는 모두 동일
IP 주소를 사용, 포트넘버로 구별

변환 테이블의 오버헤드
포트 번호가 프로세스 주소지정에 사용됨

IPv6

IP 주소 크기를 32비트가 아닌 128비트로 확장

IPv4 시스템이 IPv6 데이터그램을 처리할 수 없어서
터널링 해야 함

#3

2016/12/58 김희수

N'	$D(y), p(y)$	$D(z), p(z)$	$D(w), p(w)$	$D(v), p(v)$	$D(u), p(u)$
x	1, x	∞	3, x	2, x	1, x
xy		3, y	2, y	2, x	1, x
xyu		3, y	2, y	2, x	
$xyuv$		3, y	2, y		
$xyuvw$		3, y			
$xyuvwz$					

Destination	link	
y	(x, y)	x-y
z	(x, y)	x-y-z
w	(x, y)	x-y-w
v	(x, v)	x-v
u	(x, u)	x-u

#4

- h3에서 h1, h2, h5, h6으로 가는건 반시계방향으로 포워딩

- h4에서 h1, h2, h5, h6 " 시계 " "

S3 flow table
Match

Ingress Port	IP Src	IP dst	Action
4	10.2.0.3	10.1.*.*	forward(3)
4	10.2.0.3	10.3.0.5	forward(2)
4	10.2.0.3	10.3.0.6	forward(1)
3	10.2.0.4	10.3.0.5	forward(2)
3	10.2.0.4	10.3.0.6	forward(1)

S1 flow table
Match

Ingress Port	IP Src	IP dst	Action
4	10.2.0.4	10.3.*.*	forward(1)
4	10.2.0.4	10.3.0.1	forward(2)
4	10.2.0.4	10.3.0.2	forward(3)
1	10.2.0.3	10.1.0.1	forward(2)
1	10.2.0.3	10.1.0.2	forward(3)

2016112158 김희수

#5 data Integrity authentication replay attack

PGP MD5 해시 함수 대칭키 암호화 digital signature nonce 사용
digital signature 공개키 암호화, 해시 함수

SSL MS로 생성된 두개의 암호키 MS로 생성된 두개의 MAC키 two nonce 사용
E_A, E_B 사용 M_A, M_B 사용, MAC = (M_x, sequence || data)
handshaking #

IPSec ESP 프로토콜 사용 AH 프로토콜 사용 sequence number
사용